

Nombres de Littlewood-Richardson : Modèles combinatoires, calcul et complexité

Christophe Tollu

LIPN, Université de Paris 13

30 mars 2012

Séminaire Philippe Flajolet

Plan

Nombres et règle de Littlewood-Richardson

Modèles de ruches de Knutson-Tao

Problème de Horn et puzzles

Factorisation

Complexité

Conclusion

Nombres de Littlewood-Richardson

- ▶ Les coefficients de Littlewood-Richardson $c_{\lambda, \mu}^{\nu}$ sont des entiers ≥ 0 paramétrés par 3 partitions d'entiers, *i.e.* 3 suites finies et décroissantes d'entiers naturels $\lambda_1 \geq \lambda_2 \geq \dots$, $\mu_1 \geq \mu_2 \geq \dots$, $\nu_1 \geq \nu_2 \geq \dots$

Nombres de Littlewood-Richardson

- ▶ Les coefficients de Littlewood-Richardson $c_{\lambda, \mu}^{\nu}$ sont des entiers ≥ 0 paramétrés par 3 partitions d'entiers, *i.e.* 3 suites finies et décroissantes d'entiers naturels $\lambda_1 \geq \lambda_2 \geq \dots$, $\mu_1 \geq \mu_2 \geq \dots$, $\nu_1 \geq \nu_2 \geq \dots$
- ▶ Ils apparaissent dans de nombreux contextes

Nombres de Littlewood-Richardson

- ▶ Les coefficients de Littlewood-Richardson $c_{\lambda, \mu}^{\nu}$ sont des entiers ≥ 0 paramétrés par 3 partitions d'entiers, *i.e.* 3 suites finies et décroissantes d'entiers naturels $\lambda_1 \geq \lambda_2 \geq \dots$, $\mu_1 \geq \mu_2 \geq \dots$, $\nu_1 \geq \nu_2 \geq \dots$
- ▶ Ils apparaissent dans de nombreux contextes
 - ▶ Théorie des représentations (groupes symétriques, groupes classiques)

Nombres de Littlewood-Richardson

- ▶ Les coefficients de Littlewood-Richardson $c_{\lambda, \mu}^{\nu}$ sont des entiers ≥ 0 paramétrés par 3 partitions d'entiers, *i.e.* 3 suites finies et décroissantes d'entiers naturels $\lambda_1 \geq \lambda_2 \geq \dots$, $\mu_1 \geq \mu_2 \geq \dots$, $\nu_1 \geq \nu_2 \geq \dots$
- ▶ Ils apparaissent dans de nombreux contextes
 - ▶ Théorie des représentations (groupes symétriques, groupes classiques)
 - ▶ Géométrie (calcul de Schubert sur les grassmanniennes)

Nombres de Littlewood-Richardson

- ▶ Les coefficients de Littlewood-Richardson $c_{\lambda, \mu}^{\nu}$ sont des entiers ≥ 0 paramétrés par 3 partitions d'entiers, *i.e.* 3 suites finies et décroissantes d'entiers naturels $\lambda_1 \geq \lambda_2 \geq \dots$, $\mu_1 \geq \mu_2 \geq \dots$, $\nu_1 \geq \nu_2 \geq \dots$
- ▶ Ils apparaissent dans de nombreux contextes
 - ▶ Théorie des représentations (groupes symétriques, groupes classiques)
 - ▶ Géométrie (calcul de Schubert sur les grassmanniennes)
 - ▶ Algèbre linéaire (spectres de sommes de matrices hermitiennes)

Nombres de Littlewood-Richardson

- ▶ Les coefficients de Littlewood-Richardson $c_{\lambda, \mu}^{\nu}$ sont des entiers ≥ 0 paramétrés par 3 partitions d'entiers, *i.e.* 3 suites finies et décroissantes d'entiers naturels $\lambda_1 \geq \lambda_2 \geq \dots$, $\mu_1 \geq \mu_2 \geq \dots$, $\nu_1 \geq \nu_2 \geq \dots$
- ▶ Ils apparaissent dans de nombreux contextes
 - ▶ Théorie des représentations (groupes symétriques, groupes classiques)
 - ▶ Géométrie (calcul de Schubert sur les grassmanniennes)
 - ▶ Algèbre linéaire (spectres de sommes de matrices hermitiennes)
 - ▶ Physique (structure fine des spectres atomiques)

Représentations polynomiales de $GL_m(\mathbb{C})$

- ▶ Les représentations polynomiales complexes irréductibles V^λ de $GL_m(\mathbb{C})$ sont indexées aux partitions λ qui ont au plus m parts non nulles ($\ell(\lambda) \leq m$)

Représentations polynomiales de $GL_m(\mathbb{C})$

- ▶ Les représentations polynomiales complexes irréductibles V^λ de $GL_m(\mathbb{C})$ sont indexées aux partitions λ qui ont au plus m parts non nulles ($\ell(\lambda) \leq m$)
- ▶ Le produit tensoriel $V^\lambda \otimes V^\mu$ de deux représentations polynomiales irréductibles se décompose

$$V^\lambda \otimes V^\mu = \bigoplus_{\nu} c_{\lambda, \mu}^{\nu} V^{\nu}$$

Représentations polynomiales de $GL_m(\mathbb{C})$

- ▶ Les représentations polynomiales complexes irréductibles V^λ de $GL_m(\mathbb{C})$ sont indexées aux partitions λ qui ont au plus m parts non nulles ($\ell(\lambda) \leq m$)
- ▶ Le produit tensoriel $V^\lambda \otimes V^\mu$ de deux représentations polynomiales irréductibles se décompose

$$V^\lambda \otimes V^\mu = \bigoplus_{\nu} c_{\lambda, \mu}^{\nu} V^{\nu}$$

- ▶ Les constantes de structure de $\mathbb{Z}[x_1, \dots, x_m]^{\mathfrak{S}_n}$ relativement à la base des polynômes de Schur sont données par

$$s_{\lambda} s_{\mu} = \sum_{\ell(\nu) \leq m} c_{\lambda, \mu}^{\nu} s_{\nu}$$

Règle de Littlewood-Richardson

Theorem

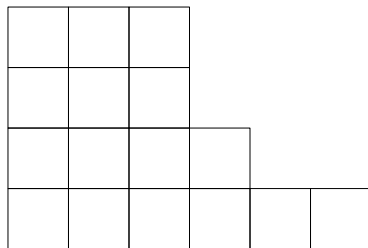
$c_{\lambda, \mu}^{\nu} = \#$ de tableaux gauches semi-standard T de forme ν/λ et de contenu μ tels que $w(T)$ soit un mot de Yamanouchi

Règle de Littlewood-Richardson

Theorem

$c_{\lambda, \mu}^{\nu} = \#$ de tableaux gauches semi-standard T de forme ν/λ et de contenu μ tels que $w(T)$ soit un mot de Yamanouchi

Exemple $\lambda = (4, 3, 1, 1)$, $\mu = (3, 2, 2)$, $\nu = (6, 4, 3, 3)$

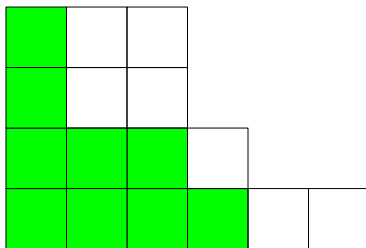


Règle de Littlewood-Richardson

Theorem

$c_{\lambda, \mu}^{\nu} = \#$ de tableaux gauches semi-standard T de forme ν/λ et de contenu μ tels que $w(T)$ soit un mot de Yamanouchi

Exemple $\lambda = (4, 3, 1, 1)$, $\mu = (3, 2, 2)$, $\nu = (6, 4, 3, 3)$

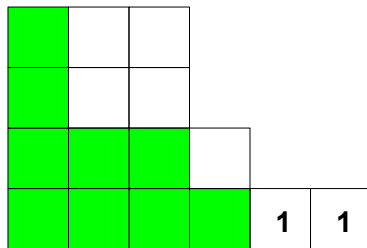


Règle de Littlewood-Richardson

Theorem

$c_{\lambda, \mu}^{\nu} = \#$ de tableaux gauches semi-standard T de forme ν/λ et de contenu μ tels que $w(T)$ soit un mot de Yamanouchi

Exemple $\lambda = (4, 3, 1, 1)$, $\mu = (3, 2, 2)$, $\nu = (6, 4, 3, 3)$



Règle de Littlewood-Richardson

Theorem

$c_{\lambda, \mu}^{\nu} = \#$ de tableaux gauches semi-standard T de forme ν/λ et de contenu μ tels que $w(T)$ soit un mot de Yamanouchi

Exemple $\lambda = (4, 3, 1, 1)$, $\mu = (3, 2, 2)$, $\nu = (6, 4, 3, 3)$

	3	3				
				1	1	

Règle de Littlewood-Richardson

Theorem

$c_{\lambda, \mu}^{\nu} = \#$ de tableaux gauches semi-standard T de forme ν/λ et de contenu μ tels que $w(T)$ soit un mot de Yamanouchi

Exemple $\lambda = (4, 3, 1, 1)$, $\mu = (3, 2, 2)$, $\nu = (6, 4, 3, 3)$

	3	3			
		2			
				1	1

Règle de Littlewood-Richardson

Theorem

$c_{\lambda, \mu}^{\nu} = \#$ de tableaux gauches semi-standard T de forme ν/λ et de contenu μ tels que $w(T)$ soit un mot de Yamanouchi

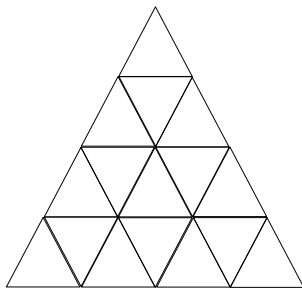
Exemple $\lambda = (4, 3, 1, 1)$, $\mu = (3, 2, 2)$, $\nu = (6, 4, 3, 3)$

	3	3			
	1	2			
			2		
				1	1

	3	3			
	2	2			
			1		
				1	1

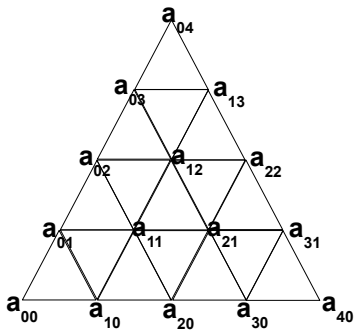
m -ruche

- ▶ Grille triangulaire dont chaque côté est de longueur m
- ▶ Exemple $m = 4$



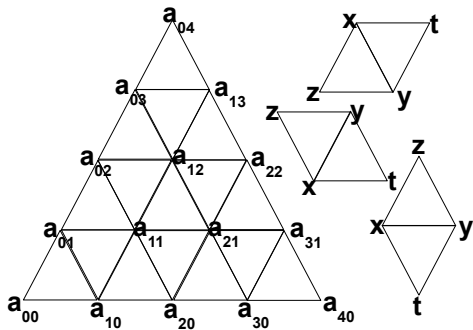
m -ruche

- ▶ Grille triangulaire dont chaque côté est de longueur m
- ▶ Sommets étiquetés dans \mathbb{R}
- ▶ Exemple $m = 4$



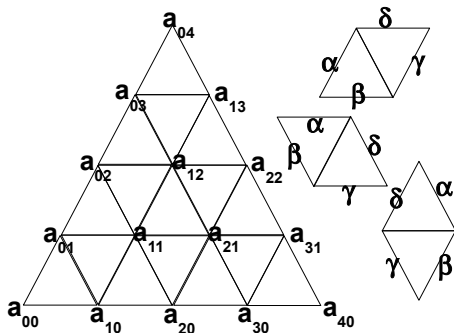
m -ruche

- ▶ Grille triangulaire dont chaque côté est de longueur m
- ▶ Etiquetage des sommets dans \mathbb{R}
- ▶ Conditions locales : $x + y \geq z + t$
- ▶ Exemple $m = 4$



m -ruche

- ▶ Grille triangulaire dont chaque côté est de longueur m
- ▶ Étiquetage de a_{00} et des arêtes par $a_{i,j+1} - a_{ij}$, $a_{i+1,j} - a_{ij}$, $a_{i+1,j} - a_{i,j+1}$
- ▶ Conditions locales : $\alpha \geq \gamma$ et $\beta \geq \delta$
- ▶ Exemple $m = 4$

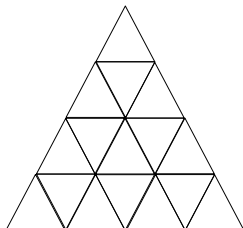


LR-ruches

- ▶ Soit λ, μ, ν trois partitions telles que $\ell(\lambda), \ell(\mu), \ell(\mu) \leq m$

LR-ruches

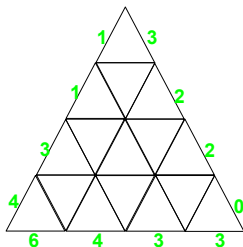
- ▶ Soit λ, μ, ν trois partitions telles que $\ell(\lambda), \ell(\mu), \ell(\nu) \leq m$
 - ▶ On étiquette les arêtes du bord d'une m -grille par les parts de λ, μ, ν
- Exemple $\lambda = (4, 3, 1, 1)$, $\mu = (3, 2, 2)$, $\nu = (6, 4, 3, 3)$



LR-ruches

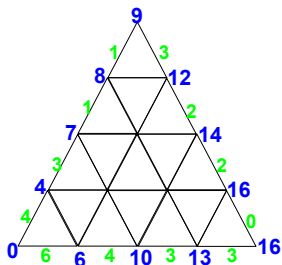
- ▶ Soit λ, μ, ν trois partitions telles que $\ell(\lambda), \ell(\mu), \ell(\nu) \leq m$
- ▶ On étiquette les arêtes du bord d'une m -grille par les parts de λ, μ, ν

Exemple $\lambda = (4, 3, 1, 1)$, $\mu = (3, 2, 2)$, $\nu = (6, 4, 3, 3)$



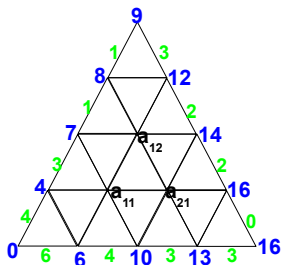
LR-ruches

- ▶ Soit λ, μ, ν trois partitions telles que $\ell(\lambda), \ell(\mu), \ell(\nu) \leq m$
- ▶ On étiquette les sommets du bord de la m -grille en posant $a_{00} = 0$
Exemple $\lambda = (4, 3, 1, 1)$, $\mu = (3, 2, 2)$, $\nu = (6, 4, 3, 3)$



LR-ruches

- ▶ Soit λ, μ, ν trois partitions telles que $l(\lambda), l(\mu), l(\nu) \leq m$
- ▶ On étiquette les sommets du bord de la m -grille en posant $a_{00} = 0$
Exemple $\lambda = (4, 3, 1, 1), \mu = (3, 2, 2), \nu = (6, 4, 3, 3)$



- ▶ L'ensemble des m -ruches de bord λ, μ, ν est un polytope $\mathcal{P}(\lambda, \mu, \nu) \subset \mathbb{R}^{(m-1)(m-2)/2}$

Règle de Littlewood-Richardson version ruche

Theorem

Soit λ, μ, ν trois partitions telles que $\ell(\lambda), \ell(\mu), \ell(\nu) \leq m$.
 $c_{\lambda, \mu}^{\nu} = \#$ de ruches à étiquettes dans \mathbb{N} et de bord λ, μ, ν

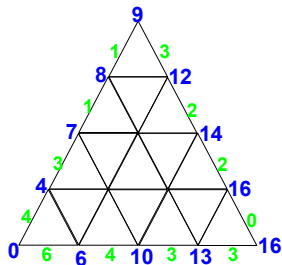
Règle de Littlewood-Richardson version ruche

Theorem

Soit λ, μ, ν trois partitions telles que $l(\lambda), l(\mu), l(\nu) \leq m$.

$c_{\lambda, \mu}^{\nu} = \#$ de ruches à étiquettes dans \mathbb{N} et de bord λ, μ, ν

Exemple $\lambda = (4, 3, 1, 1)$, $\mu = (3, 2, 2)$, $\nu = (6, 4, 3, 3)$



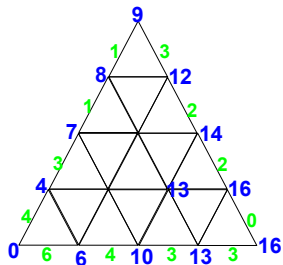
Règle de Littlewood-Richardson version ruche

Theorem

Soit λ, μ, ν trois partitions telles que $l(\lambda), l(\mu), l(\nu) \leq m$.

$c_{\lambda, \mu}^{\nu} = \#$ de ruches à étiquettes dans \mathbb{N} et de bord λ, μ, ν

Exemple $\lambda = (4, 3, 1, 1), \mu = (3, 2, 2), \nu = (6, 4, 3, 3)$



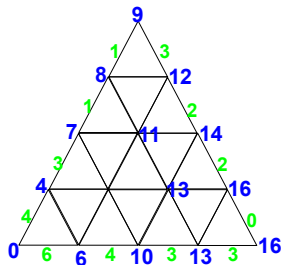
Règle de Littlewood-Richardson version ruche

Theorem

Soit λ, μ, ν trois partitions telles que $l(\lambda), l(\mu), l(\nu) \leq m$.

$c_{\lambda, \mu}^{\nu} = \#$ de ruches à étiquettes dans \mathbb{N} et de bord λ, μ, ν

Exemple $\lambda = (4, 3, 1, 1), \mu = (3, 2, 2), \nu = (6, 4, 3, 3)$



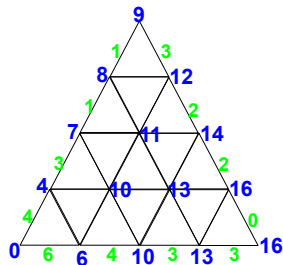
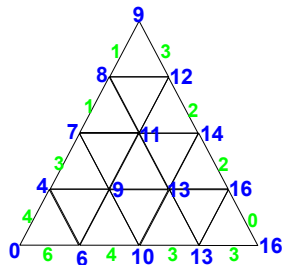
Règle de Littlewood-Richardson version ruche

Theorem

Soit λ, μ, ν trois partitions telles que $\ell(\lambda), \ell(\mu), \ell(\nu) \leq m$.

$c_{\lambda, \mu}^{\nu} = \#$ de ruches à étiquettes dans \mathbb{N} et de bord λ, μ, ν

Exemple $\lambda = (4, 3, 1, 1), \mu = (3, 2, 2), \nu = (6, 4, 3, 3)$



Bijection LR-ruches \leftrightarrow LR-tableaux

	3	3			
	1	2			
			2		
				1	1

Bijection LR-ruches \leftrightarrow LR-tableaux

0	3	3			
0	1	2			
0	0	0	2		
0	0	0	0	1	1

Bijection LR-ruches \leftrightarrow LR-tableaux

0	3	3			
0	1	2			
0	0	0	2		
0	0	0	0	1	1



Bijection LR-ruches \leftrightarrow LR-tableaux

0	3	3			
0	1	2			
0	0	0	2		
0	0	0	0	1	1

$\leftarrow p=4 \rightarrow$

6 4 3 3

Bijection LR-ruches \leftrightarrow LR-tableaux

0	3	3			
0	1	2			
0	0	0	2		
0	0	0	0	1	1

$\xleftrightarrow{p=3}$

6 4 3 3
6 4 3 3

Bijection LR-ruches \leftrightarrow LR-tableaux

0	3	3			
0	1	2			
0	0	0	2		
0	0	0	0	1	1

$\xleftrightarrow{p=2}$

6 4 3 3
6 4 3 3
6 4 3 1

Bijection LR-ruches \leftrightarrow LR-tableaux

0	3	3			
0	1	2			
0	0	0	2		
0	0	0	0	1	1

$\xleftrightarrow{p=1}$

6 4 3 3
6 4 3 3
6 4 3 1
6 3 2 1

Bijection LR-ruches \leftrightarrow LR-tableaux

0	3	3			
0	1	2			
0	0	0	2		
0	0	0	0	1	1

$\xleftrightarrow{p=0}$

6 4 3 3
6 4 3 3
6 4 3 1
6 3 2 1
4 3 1 1

Bijection LR-ruches \leftrightarrow LR-tableaux

0	3	3			
0	1	2			
0	0	0	2		
0	0	0	0	1	1



0	6	4	3	3		
0	6	4	3	3		
0	6	4	3	1		
0	6	3	2	1		
0	4	3	1	1		

Bijection LR-ruches \leftrightarrow LR-tableaux

0	3	3			
0	1	2			
0	0	0	2		
0	0	0	0	1	1



0	6	4	3	3				
	0	6	4	3	3			
		0	6	4	3	1		
			0	6	3	2	1	
				0	4	3	1	1



0	6	10	13	16				
	0	6	10	13	16			
		0	6	10	13	14		
			0	6	9	11	12	
				0	4	7	8	9

Bijection LR-ruches \leftrightarrow LR-tableaux

0	3	3			
0	1	2			
0	0	0	2		
0	0	0	0	1	1



0	6	4	3	3				
	0	6	4	3	3			
		0	6	4	3	1		
			0	6	3	2	1	
				0	4	3	1	1



0	6	10	13	16				
	0	6	10	13	16			
		0	6	10	13	14		
			0	6	9	11	12	
				0	4	7	8	9

Bijection LR-ruches \leftrightarrow LR-tableaux

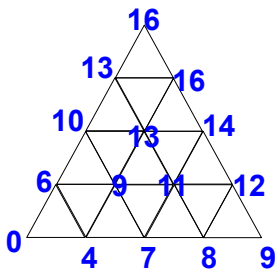
0	3	3			
0	1	2			
0	0	0	2		
0	0	0	0	1	1



0	6	4	3	3	
0	6	4	3	3	
0	6	4	3	1	
0	6	3	2	1	
0	4	3	1	1	



0	6	10	13	16	
0	6	10	13	16	
0	6	10	13	14	
0	6	9	11	12	
0	4	7	8	9	



Bijection LR-ruches \leftrightarrow LR-tableaux

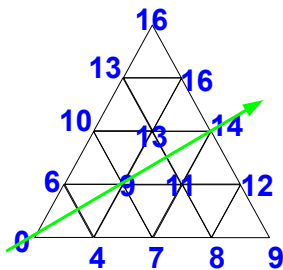
0	3	3			
0	1	2			
0	0	0	2		
0	0	0	0	1	1



0	6	4	3	3	
0	6	4	3	3	
0	6	4	3	1	
0	6	3	2	1	
0	4	3	1	1	



0	6	10	13	16	
0	6	10	13	16	
0	6	10	13	14	
0	6	9	11	12	
0	4	7	8	9	



Bijection LR-ruches \leftrightarrow LR-tableaux

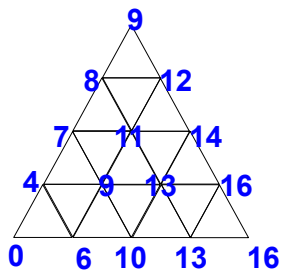
0	3	3			
0	1	2			
0	0	0	2		
0	0	0	0	1	1



0	6	4	3	3		
0	6	4	3	3		
0	6	4	3	1		
0	6	3	2	1		
0	4	3	1	1		



0	6	10	13	16		
0	6	10	13	16		
0	6	10	13	14		
0	6	9	11	12		
0	4	7	8	9		



Deux remarques

- ▶ $LR_m = \{(\lambda, \mu, \nu) \in (\mathcal{P}art_m)^3 \mid c_{\lambda, \mu}^\nu > 0\}$ est un sous-semi-groupe additif finiment engendré de $(\mathbb{Z}^m)^3$

Deux remarques

- ▶ $LR_m = \{(\lambda, \mu, \nu) \in (\mathcal{Part}_m)^3 \mid c_{\lambda, \mu}^\nu > 0\}$ est un sous-semi-groupe additif finiment engendré de $(\mathbb{Z}^m)^3$
- ▶ Dès que $m > 4$, le polytope $\mathcal{P}_{\lambda, \mu}^\nu$ n'est pas, en général, à sommets entiers
 - ▶ (DeLoera-McAllister 2008) Contre-exemples pour chaque $m \geq 5$ et majorant des dénominateurs pour m fixé

Spectres et sommes de matrices hermitiennes

- ▶ $\alpha = \alpha_1 \geq \cdots \alpha_m$, $\beta = \beta_1 \geq \cdots \beta_m$, $\gamma = \gamma_1 \geq \cdots \gamma_m$ trois m -uplets de réels

Spectres et sommes de matrices hermitiennes

- ▶ $\alpha = \alpha_1 \geq \cdots \alpha_m$, $\beta = \beta_1 \geq \cdots \beta_m$, $\gamma = \gamma_1 \geq \cdots \gamma_m$ trois m -uplets de réels
- ▶ À quelles conditions existe-t-il trois matrices hermitiennes $m \times m$ A, B, C telles que $\lambda(A) = \alpha$, $\lambda(B) = \beta$, $\lambda(C) = \gamma$, et $A + B = C$?

Spectres et sommes de matrices hermitiennes

- ▶ $\alpha = \alpha_1 \geq \cdots \alpha_m$, $\beta = \beta_1 \geq \cdots \beta_m$, $\gamma = \gamma_1 \geq \cdots \gamma_m$ trois m -uplets de réels
- ▶ À quelles conditions existe-t-il trois matrices hermitiennes $m \times m$ A, B, C telles que $\lambda(A) = \alpha$, $\lambda(B) = \beta$, $\lambda(C) = \gamma$, et $A + B = C$?
- ▶ Trace : $\sum_{i=1}^m \gamma_i = \sum_{i=1}^m \alpha_i + \sum_{i=1}^m \beta_i$ (*)

Spectres et sommes de matrices hermitiennes

- ▶ $\alpha = \alpha_1 \geq \dots \alpha_m, \beta = \beta_1 \geq \dots \beta_m, \gamma = \gamma_1 \geq \dots \gamma_m$ trois m -uplets de réels
- ▶ À quelles conditions existe-t-il trois matrices hermitiennes $m \times m$ A, B, C telles que $\lambda(A) = \alpha, \lambda(B) = \beta, \lambda(C) = \gamma$, et $A + B = C$?
- ▶ Trace : $\sum_{i=1}^m \gamma_i = \sum_{i=1}^m \alpha_i + \sum_{i=1}^m \beta_i$ (*)
- ▶ (Horn 1962) Conjecture : l'égalité (*) et les inégalités de la forme

$$\sum_{k \in K} \gamma_k \leq \sum_{i \in I} \alpha_i + \sum_{j \in J} \beta_j$$

pour tous les triplets $I, J, K \subset \{1, \dots, m\}, |I| = |J| = |K|$,

$$(I, J, K) \in \bigcup_{r=1}^{m-1} T_r^n$$

Spectres et sommes de matrices hermitiennes

- ▶ $\alpha = \alpha_1 \geq \dots \alpha_m$, $\beta = \beta_1 \geq \dots \beta_m$, $\gamma = \gamma_1 \geq \dots \gamma_m$ trois m -uplets de réels
- ▶ À quelles conditions existe-t-il trois matrices hermitiennes $m \times m$ A, B, C telles que $\lambda(A) = \alpha$, $\lambda(B) = \beta$, $\lambda(C) = \gamma$, et $A + B = C$?
- ▶ Trace : $\sum_{i=1}^m \gamma_i = \sum_{i=1}^m \alpha_i + \sum_{i=1}^m \beta_i$ (*)
- ▶ (Horn 1962) Conjecture : l'égalité (*) et les inégalités de la forme

$$\sum_{k \in K} \gamma_k \leq \sum_{i \in I} \alpha_i + \sum_{j \in J} \beta_j$$

pour tous les triplets $I, J, K \subset \{1, \dots, m\}$, $|I| = |J| = |K|$,

$$(I, J, K) \in \bigcup_{r=1}^{m-1} T_r^m$$

- ▶ T_r^m défini récursivement

Partition associée à un sous-ensemble

- ▶ $HE_m = \{(\alpha, \beta, \gamma) \in (\mathbb{R}_{\geq}^m)^3 \mid \exists A, B, C \in \mathcal{H}_m, \lambda(A) = \alpha, \lambda(B) = \beta, \lambda(A + B) = \gamma\}$

Partition associée à un sous-ensemble

- ▶ $HE_m = \{(\alpha, \beta, \gamma) \in (\mathbb{R}_{\geq}^m)^3 \mid \exists A, B, C \in \mathcal{H}_m, \lambda(A) = \alpha, \lambda(B) = \beta, \lambda(A + B) = \gamma\}$
- ▶ $LR_m = \{(\lambda, \mu, \nu) \in (\mathcal{P}_m)^3 \mid c_{\lambda, \mu}^{\nu} > 0\}$

Partition associée à un sous-ensemble

- ▶ $HE_m = \{(\alpha, \beta, \gamma) \in (\mathbb{R}_{\geq}^m)^3 \mid \exists A, B, C \in \mathcal{H}_m, \lambda(A) = \alpha, \lambda(B) = \beta, \lambda(A + B) = \gamma\}$
- ▶ $LR_m = \{(\lambda, \mu, \nu) \in (\mathcal{P}_m)^3 \mid c_{\lambda, \mu}^{\nu} > 0\}$
- ▶ $I, J, K \subset \{1, \dots, m\}, |I| = |J| = |K| = r$
- ▶ $I = \{i_1 < \dots < i_r\}, J = \{j_1 < \dots < j_r\}, K = \{k_1 < \dots < k_r\}$

Partition associée à un sous-ensemble

- ▶ $HE_m = \{(\alpha, \beta, \gamma) \in (\mathbb{R}_{\geq}^m)^3 \mid \exists A, B, C \in \mathcal{H}_m, \lambda(A) = \alpha, \lambda(B) = \beta, \lambda(A + B) = \gamma\}$
- ▶ $LR_m = \{(\lambda, \mu, \nu) \in (\mathcal{P}_m)^3 \mid c_{\lambda, \mu}^{\nu} > 0\}$
- ▶ $I, J, K \subset \{1, \dots, m\}, |I| = |J| = |K| = r$
- ▶ $I = \{i_1 < \dots < i_r\}, J = \{j_1 < \dots < j_r\}, K = \{k_1 < \dots < k_r\}$
- ▶ $\rho(I), \rho(J), \rho(K)$ trois partitions :

$$\begin{aligned}\rho(I) &= (i_r - r, \dots, i_1 - 1) \\ \rho(J) &= (j_r - r, \dots, j_1 - 1) \\ \rho(K) &= (k_r - r, \dots, k_1 - 1)\end{aligned}$$

Inégalités de Horn

- ▶ Conjecture de Horn (1962) :

$$T_r^m = \{(I, J, K) \mid (\rho(I), \rho(J), \rho(K)) \in HE_r\}$$

Inégalités de Horn

- ▶ Conjecture de Horn (1962) :

$$T_r^m = \{(I, J, K) \mid (\rho(I), \rho(J), \rho(K)) \in HE_r\}$$

- ▶ Klyachko (1996) : la conjecture est vraie pour

$$T_r^m = \{(I, J, K) \mid (\rho(I), \rho(J), \rho(K)) \in LR_r\}$$

Inégalités de Horn

- ▶ Conjecture de Horn (1962) :

$$T_r^m = \{(I, J, K) \mid (\rho(I), \rho(J), \rho(K)) \in HE_r\}$$

- ▶ Klyachko (1996) : la conjecture est vraie pour

$$T_r^m = \{(I, J, K) \mid (\rho(I), \rho(J), \rho(K)) \in LR_r\}$$

- ▶ Klyachko (1996) : $HE_m \cap (\mathbb{Q}_+^3)^m = \bigcup_{N>0} \frac{1}{N} LR_m$

Inégalités de Horn

- ▶ Conjecture de Horn (1962) :

$$T_r^m = \{(I, J, K) \mid (\rho(I), \rho(J), \rho(K)) \in HE_r\}$$

- ▶ Klyachko (1996) : la conjecture est vraie pour

$$T_r^m = \{(I, J, K) \mid (\rho(I), \rho(J), \rho(K)) \in LR_r\}$$

- ▶ Klyachko (1996) : $HE_m \cap (\mathbb{Q}_+^3)^m = \bigcup_{N>0} \frac{1}{N} LR_m$

▶ Theorem

(Knutson-Tao 1999) $c_{N\lambda, N\mu}^{N\nu} > 0$ pour un $N \geq 1 \Rightarrow c_{\lambda, \mu}^{\nu} > 0$

Inégalités de Horn

- ▶ Conjecture de Horn (1962) :

$$T_r^m = \{(I, J, K) \mid (\rho(I), \rho(J), \rho(K)) \in HE_r\}$$

- ▶ Klyachko (1996) : la conjecture est vraie pour

$$T_r^m = \{(I, J, K) \mid (\rho(I), \rho(J), \rho(K)) \in LR_r\}$$

- ▶ Klyachko (1996) : $HE_m \cap (\mathbb{Q}_+^3)^m = \bigcup_{N>0} \frac{1}{N} LR_m$

▶ Theorem

(Knutson-Tao 1999) $c_{N\lambda, N\mu}^{N\nu} > 0$ pour un $N \geq 1 \Rightarrow c_{\lambda, \mu}^{\nu} > 0$

- ▶ $T_r^m = \{(I, J, K) \mid c_{\rho(I), \rho(J)}^{\rho(K)} > 0\}$ (triplets et inégalités de Horn)

Inégalités de Horn

- ▶ Conjecture de Horn (1962) :

$$T_r^m = \{(I, J, K) \mid (\rho(I), \rho(J), \rho(K)) \in HE_r\}$$

- ▶ Klyachko (1996) : la conjecture est vraie pour

$$T_r^m = \{(I, J, K) \mid (\rho(I), \rho(J), \rho(K)) \in LR_r\}$$

- ▶ Klyachko (1996) : $HE_m \cap (\mathbb{Q}_+^3)^m = \bigcup_{N>0} \frac{1}{N} LR_m$

▶ Theorem

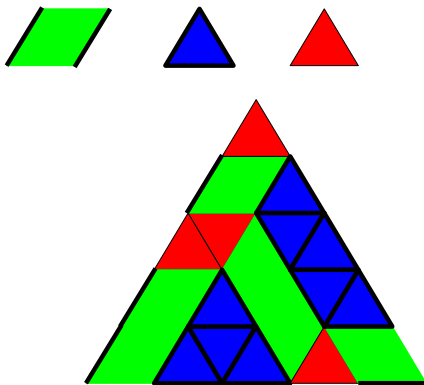
(Knutson-Tao 1999) $c_{N\lambda, N\mu}^{N\nu} > 0$ pour un $N \geq 1 \Rightarrow c_{\lambda, \mu}^{\nu} > 0$

- ▶ $T_r^m = \{(I, J, K) \mid c_{\rho(I), \rho(J)}^{\rho(K)} > 0\}$ (triplets et inégalités de Horn)
- ▶ $R_r^m = \{(I, J, K) \mid c_{\rho(I), \rho(J)}^{\rho(K)} = 1\}$ (triplets et inégalités essentiels) (Belkale 1999)

Puzzles de Knutson-Tao-Woodward

Puzzles de Knutson-Tao-Woodward

- ▶ Un m -puzzle est un pavage de la m -grille par les trois morceaux suivants, de façon que les arêtes partagées soient de même type

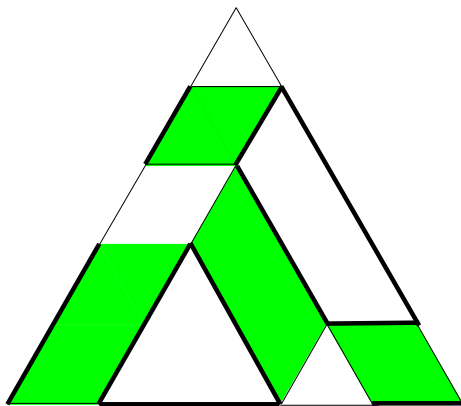


Labyrinthes de Danilov-Koshevoy

- ▶ Un labyrinthe (plan) est obtenu à partir d'un puzzle en ôtant les arêtes « internes » des blocs de même type : couloirs, chambres de type 1 (contour gras), chambres de type 0 (contour fin)

Labyrinthes de Danilov-Koshevoy

- ▶ Un labyrinthe (plan) est obtenu à partir d'un puzzle en ôtant les arêtes « internes » des blocs de même type : couloirs, chambres de type 1 (contour gras), chambres de type 0 (contour fin)

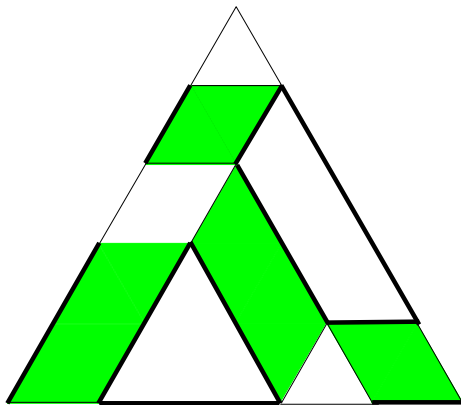


Puzzles et triplets admissibles

- ▶ (I, J, K) , $I, J, K \subset \{1, \dots, m\}$, $|I| = |J| = |K|$ est un triplet admissible s'il correspond aux positions des arêtes grasses sur le bord d'un puzzle

Puzzles et triplets admissibles

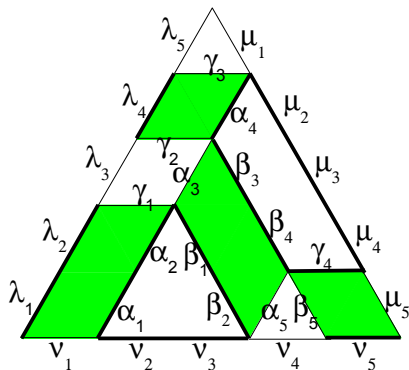
- ▶ (I, J, K) , $I, J, K \subset \{1, \dots, m\}$, $|I| = |J| = |K|$ est un triplet admissible s'il correspond aux positions des arêtes grasses sur le bord d'un puzzle
- ▶ Exemple : $I = \{1, 2, 4\}$, $J = \{2, 3, 4\}$, $K = \{2, 3, 5\}$



Puzzles et inégalités

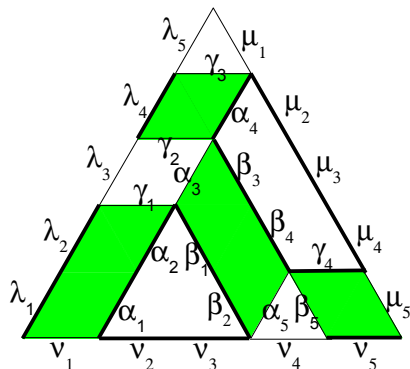
Puzzles et inégalités

- ▶ On superpose un plan à une *LR*-ruche



Puzzles et inégalités

- ▶ On superpose un plan à une *LR*-ruche



- ▶ On obtient une inégalité :

$$\begin{aligned} \nu_2 + \nu_3 + \nu_5 &\leq \alpha_1 + \alpha_2 + \beta_1 + \beta_2 + \gamma_4 \\ &\leq \lambda_1 + \lambda_2 + \beta_3 + \beta_4 + \gamma_4 \\ &= \lambda_1 + \lambda_2 + \alpha_4 + \mu_2 + \mu_3 + \mu_4 \\ &\leq \lambda_1 + \lambda_2 + \lambda_4 + \mu_2 + \mu_3 + \mu_4 \end{aligned}$$

Inégalités induites par un puzzle

- ▶ Si $c_{\lambda, \mu}^{\nu} > 0$, alors chaque inégalité $|\nu|_{\kappa} \leq |\lambda|_I + |\mu|_J$ induite par un puzzle est satisfaite

Inégalités induites par un puzzle

- ▶ Si $c_{\lambda, \mu}^{\nu} > 0$, alors chaque inégalité $|\nu|_{\kappa} \leq |\lambda|_I + |\mu|_J$ induite par un puzzle est satisfaite
- ▶ Si une inégalité $|\nu|_{\kappa} \leq |\lambda|_I + |\mu|_J$ induite par un puzzle est saturée (i.e. devient une égalité), alors les couloirs deviennent redondants : les arêtes opposées de tout losange élémentaire contenu dans un couloir ont la même étiquette

Inégalités induites par un puzzle

- ▶ Si $c_{\lambda, \mu}^{\nu} > 0$, alors chaque inégalité $|\nu|_K \leq |\lambda|_I + |\mu|_J$ induite par un puzzle est satisfaite
- ▶ Si une inégalité $|\nu|_K \leq |\lambda|_I + |\mu|_J$ induite par un puzzle est saturée (i.e. devient une égalité), alors les couloirs deviennent redondants : les arêtes opposées de tout losange élémentaire contenu dans un couloir ont la même étiquette
- ▶ Pour montrer qu'un triplet admissible (I, J, K) est un triplet de Horn (et l'inégalité induite une inégalité de Horn), on établit un lien entre les puzzles associés à (I, J, K) et $c_{\rho(I), \rho(J)}^{\rho(K)}$

Énumération des puzzles

► Theorem

(Knutson-Tao-Woodward 2004) Le nombre de puzzles associés à un triplet (I, J, K) est égal à $c_{\rho(I), \rho(J)}^{\rho(K)}$.

Énumération des puzzles

► Theorem

(Knutson-Tao-Woodward 2004) Le nombre de puzzles associés à un triplet (I, J, K) est égal à $c_{\rho(I), \rho(J)}^{\rho(K)}$.

► Exemple : $m = 5$, $I = \{1, 2, 4\}$, $J = \{2, 3, 4\}$, $K = \{2, 3, 5\}$

Énumération des puzzles

► Theorem

(Knutson-Tao-Woodward 2004) Le nombre de puzzles associés à un triplet (I, J, K) est égal à $c_{\rho(I), \rho(J)}^{\rho(K)}$.

► Exemple : $m = 5$, $I = \{1, 2, 4\}$, $J = \{2, 3, 4\}$, $K = \{2, 3, 5\}$

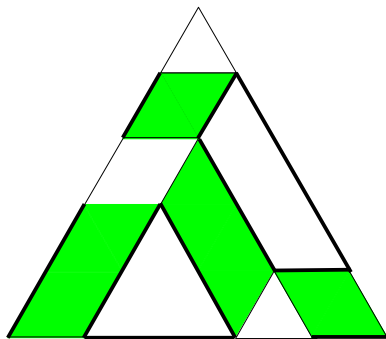
► $c_{\rho(I), \rho(J)}^{\rho(K)} = c_{1, 111}^{211} = 1$

Énumération des puzzles

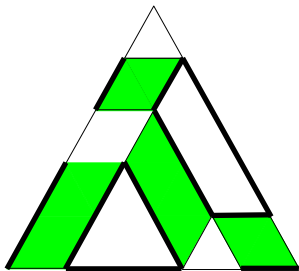
► Theorem

(Knutson-Tao-Woodward 2004) Le nombre de puzzles associés à un triplet (I, J, K) est égal à $c_{\rho(I), \rho(J)}^{\rho(K)}$.

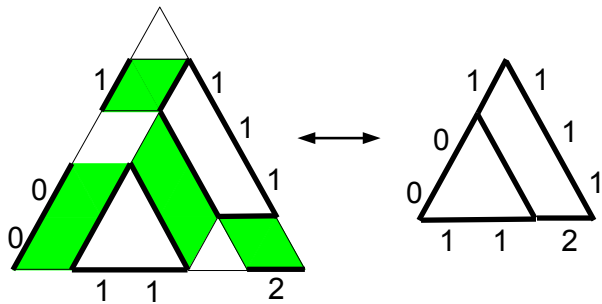
- Exemple : $m = 5$, $I = \{1, 2, 4\}$, $J = \{2, 3, 4\}$, $K = \{2, 3, 5\}$
 - $c_{\rho(I), \rho(J)}^{\rho(K)} = c_{1, 111}^{211} = 1$
 - un seul puzzle



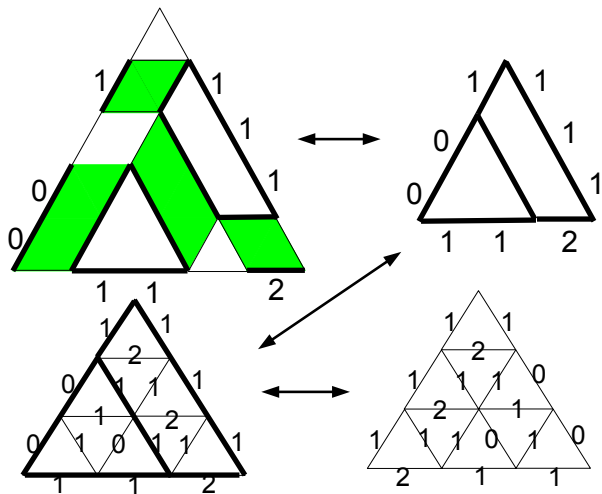
Bijection puzzles \leftrightarrow ruches



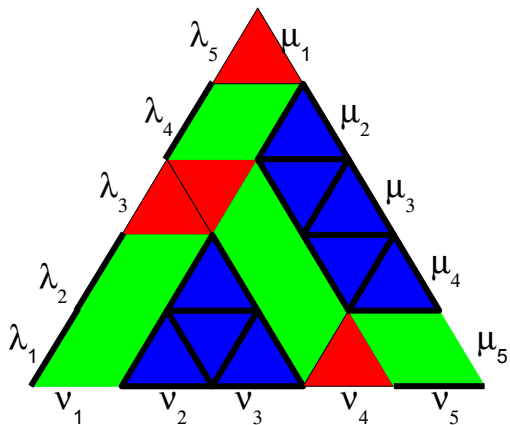
Bijection puzzles \leftrightarrow ruches



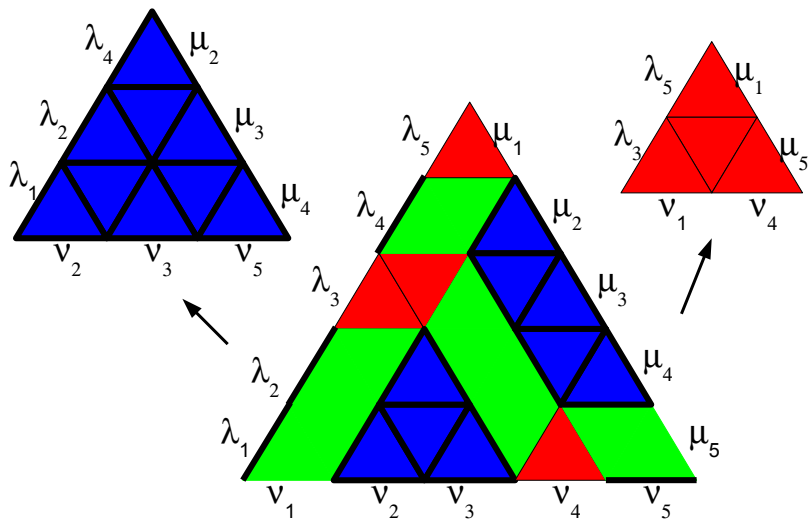
Bijection puzzles \leftrightarrow ruches



Factorisation des ruches



Factorisation des ruches



Factorisation des coefficients de L-R

- ▶ (I, J, K) un triplet essentiel

Factorisation des coefficients de L-R

▶ (I, J, K) un triplet essentiel

▶ **Theorem**

(King-T-Toumazet 2009) Si $|\lambda|_I + |\mu|_J = |\nu|_K$, alors

$$c_{\lambda, \mu}^{\nu} = c_{\lambda_I, \mu_J}^{\nu_K} \cdot c_{\lambda_{\bar{I}}, \mu_{\bar{J}}}^{\nu_{\bar{K}}}$$

Factorisation des coefficients de L-R

- ▶ (I, J, K) un triplet essentiel

- ▶ **Theorem**

(King-T-Toumazet 2009) Si $|\lambda|_I + |\mu|_J = |\nu|_K$, alors

$$c_{\lambda, \mu}^{\nu} = c_{\lambda_I, \mu_J}^{\nu_K} \cdot c_{\lambda_{\bar{I}}, \mu_{\bar{J}}}^{\nu_{\bar{K}}}$$

- ▶ Deux ingrédients de la preuve :

Factorisation des coefficients de L-R

- ▶ (I, J, K) un triplet essentiel

- ▶ Theorem

(King-T-Toumazet 2009) Si $|\lambda|_I + |\mu|_J = |\nu|_K$, alors

$$c_{\lambda, \mu}^{\nu} = c_{\lambda_I, \mu_J}^{\nu_K} \cdot c_{\lambda_{\bar{I}}, \mu_{\bar{J}}}^{\nu_{\bar{K}}}$$

- ▶ Deux ingrédients de la preuve :
 - ▶ Une notion de « bon chemin » dont l'union doit couvrir l'ensemble des arêtes internes des couloirs (redondants) pour permettre la factorisation
 - ▶ Rigidité d'un puzzle \Leftrightarrow absence de gentle loop (Knutson-Tao-Woodward 2004)

Factorisation des coefficients de L-R

- ▶ (I, J, K) un triplet essentiel

- ▶ Theorem

(King-T-Toumazet 2009) Si $|\lambda|_I + |\mu|_J = |\nu|_K$, alors

$$c_{\lambda, \mu}^{\nu} = c_{\lambda_I, \mu_J}^{\nu_K} \cdot c_{\lambda_{\bar{I}}, \mu_{\bar{J}}}^{\nu_{\bar{K}}}$$

- ▶ Deux ingrédients de la preuve :
 - ▶ Une notion de « bon chemin » dont l'union doit couvrir l'ensemble des arêtes internes des couloirs (redondants) pour permettre la factorisation
 - ▶ Rigidité d'un puzzle \Leftrightarrow absence de gentle loop (Knutson-Tao-Woodward 2004)

- ▶ Exemple :

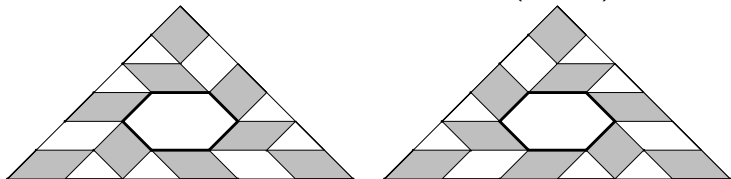
$$c_{(9,7,6,2,0), (13,5,3,1,0)}^{(14,12,11,5,4)} = c_{(9,7,2), (5,3,1)}^{(12,11,4)} \cdot c_{(6,0), (13,0)}^{(14,5)} = 2 \cdot 1 = 2$$

Contre-exemple

- ▶ $m = 6, r = 3, I = J = \{1, 3, 5\}, K = \{2, 4, 6\}$

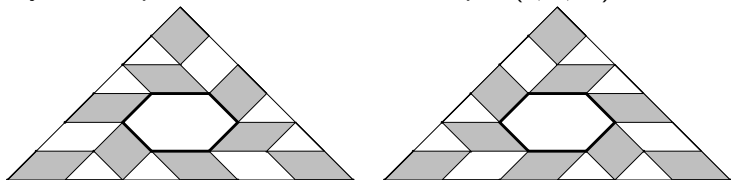
Contre-exemple

- ▶ $m = 6, r = 3, I = J = \{1, 3, 5\}, K = \{2, 4, 6\}$
- ▶ Il y a deux puzzles de bord déterminé par (I, J, K) :



Contre-exemple

- ▶ $m = 6, r = 3, I = J = \{1, 3, 5\}, K = \{2, 4, 6\}$
- ▶ Il y a deux puzzles de bord déterminé par (I, J, K) :



$$c_{221100,221100}^{332211} = 3 \neq 2 \cdot 2 = c_{210,210}^{321} \cdot c_{210,210}^{321}$$

Classes NP et $\#P$

Classes NP et $\#P$

- ▶ $f : \{0, 1\}^* \rightarrow \{0, 1\}$. $f \in NP$ s'il existe une machine de Turing polynomiale M et un polynôme p tels que :

$$\forall x \in \{0, 1\}^n, f(x) = 1 \Leftrightarrow (\exists y \in \{0, 1\}^{p(n)})(M \text{ accepte } (x, y))$$

Classes NP et $\#P$

- ▶ $f : \{0, 1\}^* \rightarrow \{0, 1\}$. $f \in NP$ s'il existe une machine de Turing polynomiale M et un polynôme p tels que :

$$\forall x \in \{0, 1\}^n, f(x) = 1 \Leftrightarrow (\exists y \in \{0, 1\}^{p(n)})(M \text{ accepte } (x, y))$$

- ▶ satisfaisabilité de 3-clauses, chemin hamiltonien, etc.

Classes NP et $\#P$

- ▶ $f : \{0, 1\}^* \rightarrow \{0, 1\}$. $f \in NP$ s'il existe une machine de Turing polynomiale M et un polynôme p tels que :

$$\forall x \in \{0, 1\}^n, f(x) = 1 \Leftrightarrow (\exists y \in \{0, 1\}^{p(n)})(M \text{ accepte } (x, y))$$

- ▶ satisfaisabilité de 3-clauses, chemin hamiltonien, etc.

- ▶ $f : \{0, 1\}^* \rightarrow \mathbb{N}$. $f \in \#P$ s'il existe une machine de Turing polynomiale M et un polynôme p tels que :

$$\forall x \in \{0, 1\}^n, f(x) = |\{y \in \{0, 1\}^{p(n)} \mid M \text{ accepte } (x, y)\}|$$

Classes NP et $\#P$

- ▶ $f : \{0, 1\}^* \rightarrow \{0, 1\}$. $f \in NP$ s'il existe une machine de Turing polynomiale M et un polynôme p tels que :

$$\forall x \in \{0, 1\}^n, f(x) = 1 \Leftrightarrow (\exists y \in \{0, 1\}^{p(n)})(M \text{ accepte } (x, y))$$

- ▶ satisfaisabilité de 3-clauses, chemin hamiltonien, etc.
- ▶ $f : \{0, 1\}^* \rightarrow \mathbb{N}$. $f \in \#P$ s'il existe une machine de Turing polynomiale M et un polynôme p tels que :

$$\forall x \in \{0, 1\}^n, f(x) = |\{y \in \{0, 1\}^{p(n)} \mid M \text{ accepte } (x, y)\}|$$

- ▶ permanent, dénombrement des solutions d'un problème NP , etc.

Complexité

- ▶ En général, l'énumération des points entiers dans un polytope est $\#P$ -complet

Complexité

- ▶ En général, l'énumération des points entiers dans un polytope est $\#P$ -complet
- ▶ Si la dimension de l'espace ambiant est fixée, il existe un algorithme polynomial qui énumère les points entiers de tout polytope (Barvinok)

Complexité

- ▶ En général, l'énumération des points entiers dans un polytope est $\#P$ -complet
- ▶ Si la dimension de l'espace ambiant est fixée, il existe un algorithme polynomial qui énumère les points entiers de tout polytope (Barvinok)
- ▶ **Theorem**
(Narayanan 2006) Le calcul des $c_{\lambda, \mu}^{\nu}$ est $\#P$ -complet

Complexité

- ▶ En général, l'énumération des points entiers dans un polytope est $\#P$ -complet
- ▶ Si la dimension de l'espace ambiant est fixée, il existe un algorithme polynomial qui énumère les points entiers de tout polytope (Barvinok)

- ▶ **Theorem**
(Narayanan 2006) *Le calcul des $c_{\lambda, \mu}^{\nu}$ est $\#P$ -complet*
 - ▶ Réduction du calcul du nombre $I(a, b)$ de tables de contingence $2 \times k$ de type (a, b) , $a \in \mathbb{N}^2$, $a_1 \geq a_2$, $b \in \mathbb{N}^k$ au calcul d'un nombre de Kostka $K_{\lambda, \mu}$ (la correspondance R-S-K est une étape décisive)

Complexité

- ▶ En général, l'énumération des points entiers dans un polytope est $\#P$ -complet
- ▶ Si la dimension de l'espace ambiant est fixée, il existe un algorithme polynomial qui énumère les points entiers de tout polytope (Barvinok)
- ▶ **Theorem**
(Narayanan 2006) *Le calcul des $c_{\lambda, \mu}^{\nu}$ est $\#P$ -complet*
 - ▶ Réduction du calcul du nombre $I(a, b)$ de tables de contingence $2 \times k$ de type (a, b) , $a \in \mathbb{N}^2$, $a_1 \geq a_2$, $b \in \mathbb{N}^k$ au calcul d'un nombre de Kostka $K_{\lambda, \mu}$ (la correspondance R-S-K est une étape décisive)
 - ▶ Le calcul de $I(a, b)$ est $\#P$ -complet (Dyer-Kannan-Mount 1997)

Schéma d'approximation polynomiale

Theorem

(Narayanan 2010) Il existe un algorithme randomisé fortement polynomial qui calcule une fraction $1 - O(\gamma)$ de tous les $c_{\lambda, \mu}^{\nu}$ correspondant aux points entiers de

$$\text{Cone de } L\text{-}R \cap \{(\lambda, \mu, \nu) \mid |\lambda| + |\mu| + |\nu| \leq \frac{n^5}{\gamma}\}$$

Test de non-nullité

- ▶ Theorem

(Knutson-Tao, Mulmuley-Sohoni) Il existe un algorithme fortement polynomial qui teste si $c_{\lambda, \mu}^{\nu} > 0$

Test de non-nullité

- ▶ Theorem

(Knutson-Tao, Mulmuley-Sohoni) Il existe un algorithme fortement polynomial qui teste si $c_{\lambda, \mu}^{\nu} > 0$

- ▶ Deux ingrédients dans la preuve

Test de non-nullité

- ▶ Theorem

(Knutson-Tao, Mulmuley-Sohoni) Il existe un algorithme fortement polynomial qui teste si $c_{\lambda, \mu}^{\nu} > 0$

- ▶ Deux ingrédients dans la preuve
 - ▶ Théorème de saturation de Knutson-Tao

Test de non-nullité

- ▶ Theorem

(Knutson-Tao, Mulmuley-Sohoni) Il existe un algorithme fortement polynomial qui teste si $c'_{\lambda,\mu} > 0$

- ▶ Deux ingrédients dans la preuve
 - ▶ Théorème de saturation de Knutson-Tao
 - ▶ Existence d'un algorithme fortement polynomial pour la programmation linéaire

Coefficients de Clebsch-Gordan pour les types B,C,D

- ▶ Pour toute algèbre de Lie complexe semi-simple de dimension finie,

$$V^\lambda \otimes V^\mu = \bigoplus_{\nu} C_{\lambda,\mu}^{\nu} V^{\nu}$$

Coefficients de Clebsch-Gordan pour les types B,C,D

- ▶ Pour toute algèbre de Lie complexe semi-simple de dimension finie,

$$V^\lambda \otimes V^\mu = \bigoplus_{\nu} C_{\lambda,\mu}^{\nu} V^{\nu}$$

- ▶ Pour les types B , C et D , il n'y pas de théorème de saturation (contre-exemples pour les types B et C)

Coefficients de Clebsch-Gordan pour les types B,C,D

- ▶ Pour toute algèbre de Lie complexe semi-simple de dimension finie,

$$V^\lambda \otimes V^\mu = \bigoplus_{\nu} C_{\lambda,\mu}^{\nu} V^{\nu}$$

- ▶ Pour les types B , C et D , il n'y a pas de théorème de saturation (contre-exemples pour les types B et C)
- ▶ $C_{\lambda,\mu}^{\nu} = \#$ points entiers dans un polytope $\mathcal{P}_{\lambda,\mu}^{\nu}$

Coefficients de Clebsch-Gordan pour les types B,C,D

- ▶ Pour toute algèbre de Lie complexe semi-simple de dimension finie,

$$V^\lambda \otimes V^\mu = \bigoplus_{\nu} C_{\lambda,\mu}^{\nu} V^{\nu}$$

- ▶ Pour les types B , C et D , il n'y pas de théorème de saturation (contre-exemples pour les types B et C)
- ▶ $C_{\lambda,\mu}^{\nu} = \#$ points entiers dans un polytope $\mathcal{P}_{\lambda,\mu}^{\nu}$
- ▶ $C_{N\lambda,N\mu}^{N\nu}$ est un pseudo-polynôme en N qui n'est pas, en général, un polynôme

Coefficients de Clebsch-Gordan pour les types B,C,D

- ▶ Pour toute algèbre de Lie complexe semi-simple de dimension finie,

$$V^\lambda \otimes V^\mu = \bigoplus_{\nu} C_{\lambda,\mu}^{\nu} V^{\nu}$$

- ▶ Pour les types B , C et D , il n'y pas de théorème de saturation (contre-exemples pour les types B et C)
- ▶ $C_{\lambda,\mu}^{\nu} = \#$ points entiers dans un polytope $\mathcal{P}_{\lambda,\mu}^{\nu}$
- ▶ $C_{N\lambda,N\mu}^{N\nu}$ est un pseudo-polynôme en N qui n'est pas, en général, un polynôme
- ▶ Conjecture (De Loera - McAllister 2008) : Pour les types B , C et D , les coefficients des polynômes f_i dans

$$C_{N\lambda,N\mu}^{N\nu} = \begin{cases} f_1(N) & \text{si } N \equiv 0 \pmod{2} \\ f_2(N) & \text{si } N \equiv 1 \pmod{2} \end{cases}$$

sont positifs

Coefficients de Clebsch-Gordan pour les types B,C,D

- ▶ Pour toute algèbre de Lie complexe semi-simple de dimension finie,

$$V^\lambda \otimes V^\mu = \bigoplus_{\nu} C_{\lambda,\mu}^{\nu} V^{\nu}$$

- ▶ Pour les types B , C et D , il n'y a pas de théorème de saturation (contre-exemples pour les types B et C)
- ▶ $C_{\lambda,\mu}^{\nu} = \#$ points entiers dans un polytope $\mathcal{P}_{\lambda,\mu}^{\nu}$
- ▶ $C_{N\lambda,N\mu}^{N\nu}$ est un pseudo-polynôme en N qui n'est pas, en général, un polynôme
- ▶ Conjecture (De Loera - McAllister 2008) : Pour les types B , C et D , les coefficients des polynômes f_i dans

$$C_{N\lambda,N\mu}^{N\nu} = \begin{cases} f_1(N) & \text{si } N \equiv 0 \pmod{2} \\ f_2(N) & \text{si } N \equiv 1 \pmod{2} \end{cases}$$

sont positifs

- ▶ Le test $C_{\lambda,\mu}^{\nu} > 0$ deviendrait polynomial (Mullmuley-Narayanan)